



西安交通大学
XI'AN JIAOTONG UNIVERSITY

半导体物理与器件

任课教师: 赵小龙
电信学部微电子学院
zhaoxiaolong@xjtu.edu.cn

目录

- 前沿——课程信息

第一部分：半导体物理

- 第一章 半导体中的电子状态
- **第二章 半导体中载流子的统计分布**
- 第三章 半导体的导电性
- 第四章 非平衡载流子
- 第五章 金属和半导体的接触

第二部分：p-n结

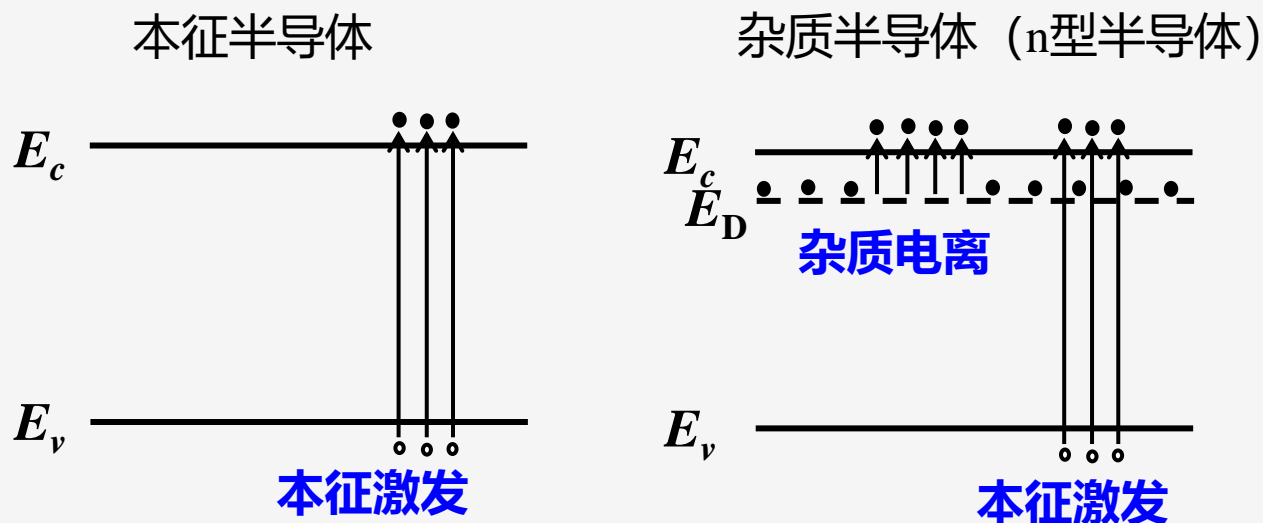
第三部分：双极晶体管

第四部分：金属-氧化物-半导体场效应晶体管

第二章 半导体中载流子的统计分布

- 问题：热平衡条件下，半导体中的载流子浓度 (n_0 , p_0) ?

1. 载流子的产生



2. 载流子的复合：与产生相反的过程

3. 热平衡状态：一定温度下，这两个相反过程之间建立起动态平衡

热平衡载流子浓度 (n_0 , p_0)

- 解决方法：微观粒子统计规律

第二章 半导体中载流子的统计分布

• 解决思路:

导带中电子数:

能量不连续: $\sum_{i=1}^w Z(E_i) f(E_i)$

能量准连续:

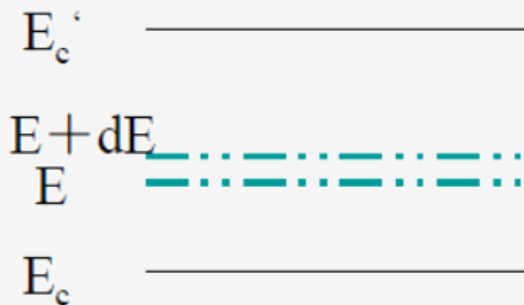
能带中能量间隔很小, 是准连续的

取其中能量为E的附近dE变化量, 认为E到E+dE范围内量子态数为dZ, 这些量子态具有相同的能量,

电子占据能量为E的量子态的几率为 $f(E)$, 则能量E附近dE范围内电子数为 $f(E)dZ$

对其求积分可以得到整个能量范围的电子数

$$\int_{E_c}^{E_c'} f(E) dZ$$



第二章 半导体中载流子的统计分布

• 解决思路：

如何得到dZ

- 引入能量状态密度：某一能量上，单位能量间隔内状态数“ $g(E)$ ”

$$g(E) = \frac{dZ}{dE} \quad dZ = g(E)dE$$

代入 $\int_{E_C}^{E'_C} f(E)dZ$ 得： $N = \int_{E_C}^{E'_C} f(E)g(E)dE$

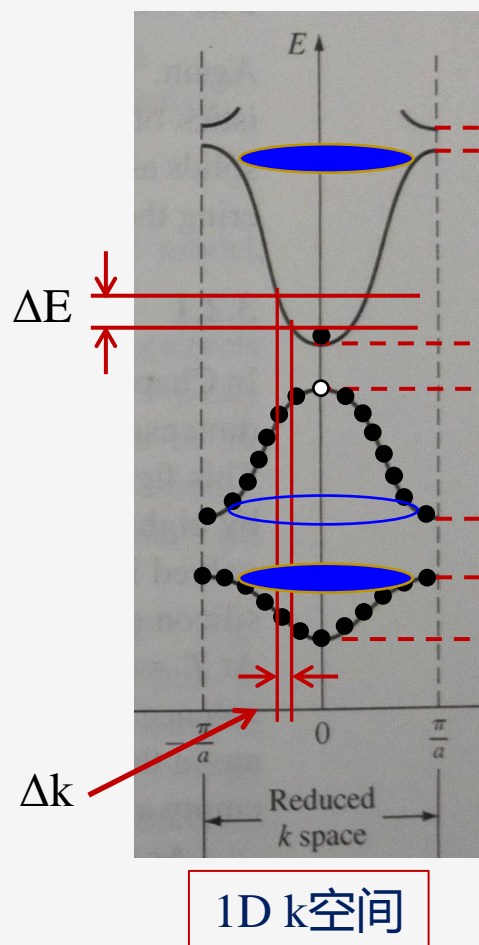
求解基础 \longrightarrow 状态密度 $g(E)$
分布函数 $f(E)$

解决问题：

1. 本征半导体载流子浓度
2. 杂质半导体载流子浓度（非简并，简并）

第二章 半导体中载流子的统计分布

- **状态密度：** 能带中，能量 E 附近单位能量间隔内量子数



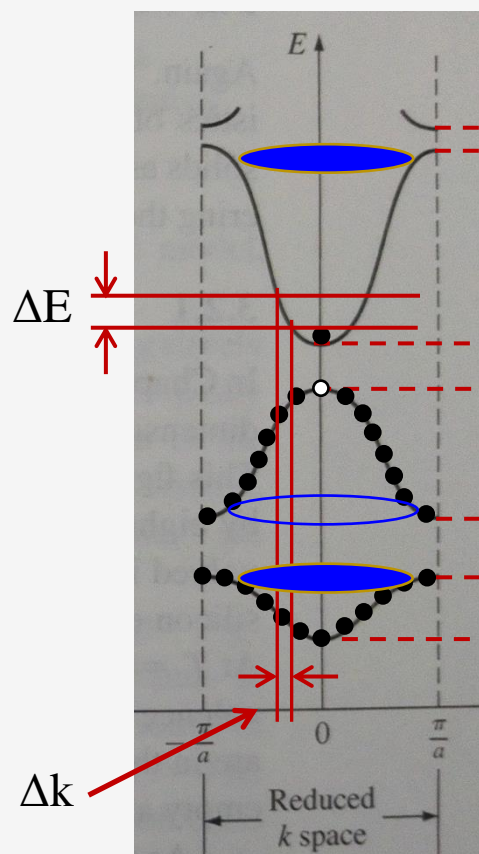
$$g(E) = \frac{dZ}{dE}$$

1. E - k 关系
2. Z - k 关系

第二章 半导体中载流子的统计分布

• 状态密度

1. E-k关系 (导带底)



1D k空间

$$E = E(k) = E_c + \frac{h^2}{2m_n^*} k^2$$

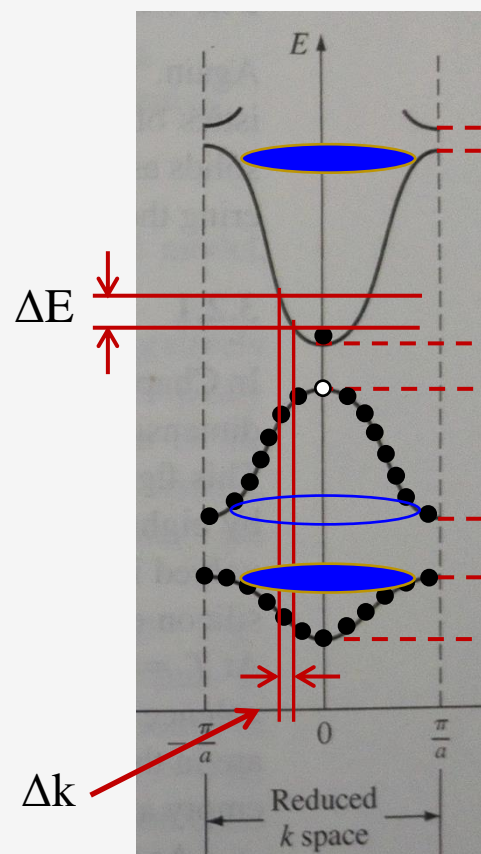
$$k = \frac{\sqrt{2m_n^*(E - E_c)}}{h}$$

$$kdk = \frac{m_n^* dE}{h^2}$$

第二章 半导体中载流子的统计分布

• 状态密度

2. Z-k关系 (导带底)



1D k空间

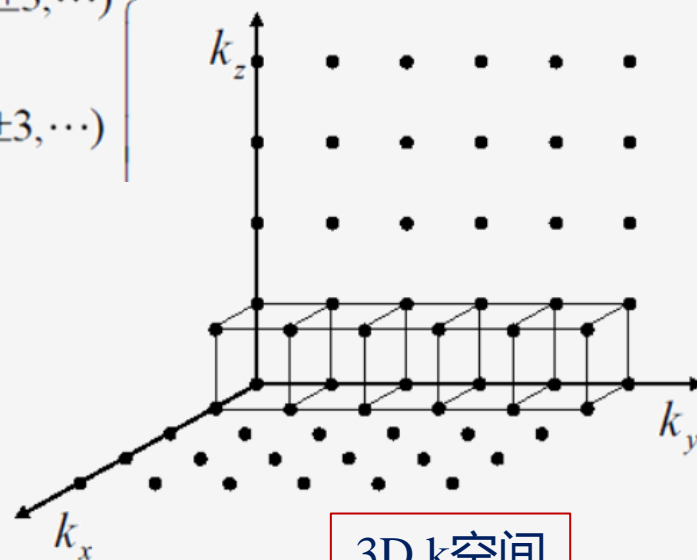
k空间量子态分布

(单位体积量子态数)

$$k_x = \frac{n_x}{L} (n_x = 0, \pm 1, \pm 2, \pm 3, \dots)$$

$$k_y = \frac{n_y}{L} (n_y = 0, \pm 1, \pm 2, \pm 3, \dots)$$

$$k_z = \frac{n_z}{L} (n_z = 0, \pm 1, \pm 2, \pm 3, \dots)$$

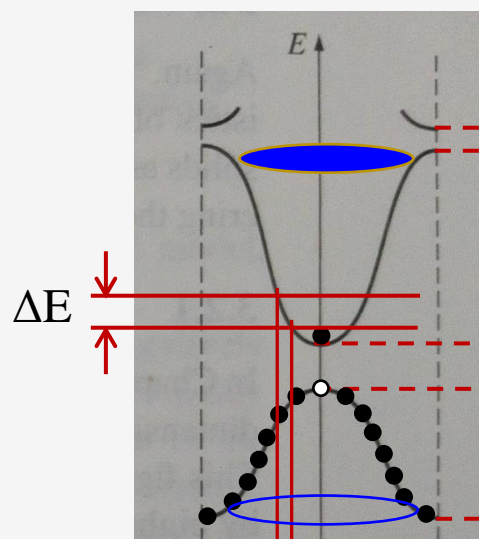


3D k空间

第二章 半导体中载流子的统计分布

• 状态密度

2. Z-k关系 (导带底)



k空间量子态分布

(单位体积量子态数)

$$k_x = \frac{n_x}{L} (n_x = 0, \pm 1, \pm 2, \pm 3, \dots)$$

$$k_y = \frac{n_y}{L} (n_y = 0, \pm 1, \pm 2, \pm 3, \dots)$$

$$k_z = \frac{n_z}{L} (n_z = 0, \pm 1, \pm 2, \pm 3, \dots)$$



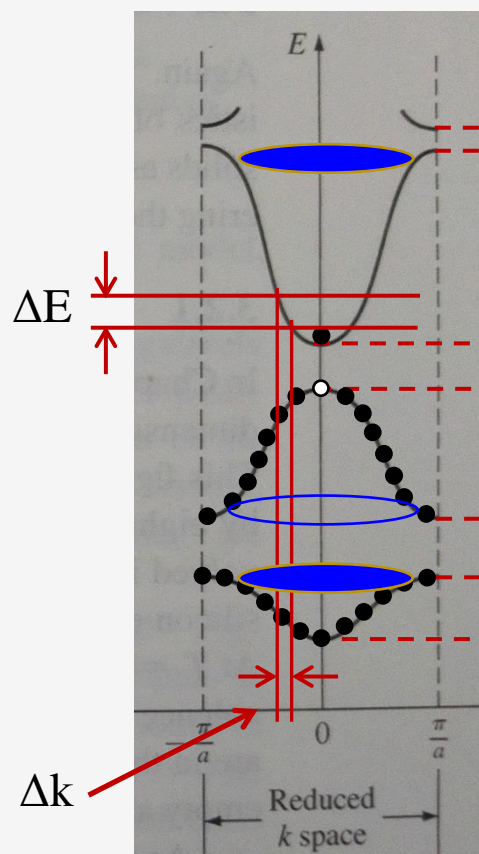
- 电子波矢不能取任意值，而是一些分立的值。在k空间中允许量子态构成一个点阵，每个点由一组整数 (n_x, n_y, n_z) 表示。
- k空间中，每一个允许的量子态的k空间代表点都与一个 $1/L^3$ 的立方体相联系。即每一个 $1/L^3$ 的立方体中有一个允许的量子态
- 所以k空间中量子态密度 (单位体积) 为 $1/L^3 = V$ ，考虑电子自旋，则量子态密度为 $2V$ (单位体积)，k空间量子态是均匀分布。

第二章 半导体中载流子的统计分布

• 状态密度

2. Z-k关系 (导带底)

$$g(E) = \frac{dZ}{dE}$$

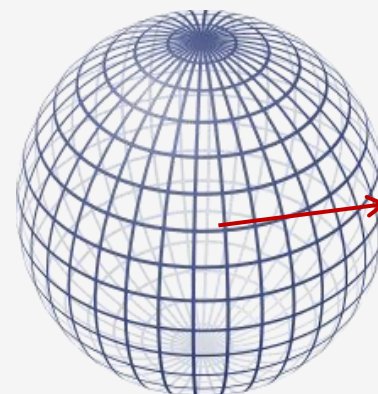


球壳体积

$$dZ = 2V \times 4\pi k^2 dk$$

$$k = \frac{\sqrt{2m_n^*(E - E_c)}}{h}$$

$$kdk = \frac{m_n^* dE}{h^2}$$



3D

$$g_c(E) = 4\pi V \frac{(2m_n^*)^{3/2}}{h^3} (E - E_c)^{1/2}$$

第二章 半导体中载流子的统计分布

• 状态密度

旋转椭球等能面（硅、锗）状态密度 $k=k_0$

$$E(k) = E_c + \frac{h^2}{2} \left[\frac{(k_x - k_{x0})^2}{m_t} + \frac{(k_y - k_{y0})^2}{m_l} + \frac{(k_z - k_{z0})^2}{m_l} \right]$$

导带底附近

$$g_c(E) = 4\pi V \frac{(2m_n^*)^{3/2}}{h^3} [E - E_c]^{1/2}$$

$$m_n^* = m_{dn} = s^{2/3} (m_l m_t^2)^{1/3}$$

电子状态密度
有效质量

价带顶附近

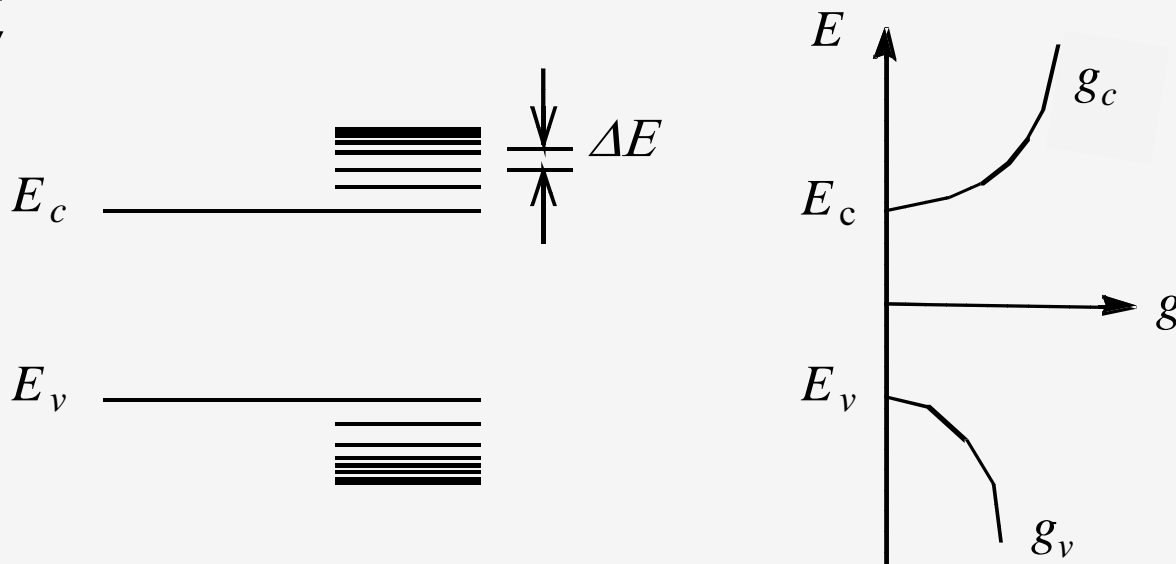
$$g_v(E) = 4\pi V \frac{(2m_p^*)^{3/2}}{h^3} [E_v - E]^{1/2}$$

空穴状态密度
有效质量

$$m_p^* = m_{dp} = \left[(m_p)_l^{3/2} + (m_p)_h^{3/2} \right]^{2/3}$$

第二章 半导体中载流子的统计分布

• 状态密度



- The general form of the relationships between DOS $g_c(E)$ (or $g_v(E)$) and energy E should be noted.
- $g_c(E)$ is zero at E_c and increases as the square root of energy E when one proceeds **upward from E_c into the conduction band**.
- $g_v(E)$ is zero at E_v and increases as the square root of energy E when one proceeds **downward from E_v into the valence band**.
- Note the differences in the carrier effective mass.

第二章 半导体中载流子的统计分布

• 状态密度

状态密度小结:

能带中能量E附近单位能量间隔内量子态数

$$g(E) = \frac{dZ}{dE} \quad dZ \text{ 为能量 } E \text{ 到 } E + dE \text{ 之间的量子态数}$$

$$g_c(E) = 4\pi V \frac{(2m_n^*)^{3/2}}{h^3} [E - E_c]^{1/2} \quad \text{电子状态密度有效质量}$$

$$g_v(E) = 4\pi V \frac{(2m_p^*)^{3/2}}{h^3} [E_v - E]^{1/2} \quad \text{空穴状态密度有效质量}$$

$$\text{电子或空穴的数量} = \int_{E_0}^{E'} f(E)g(E)dE$$

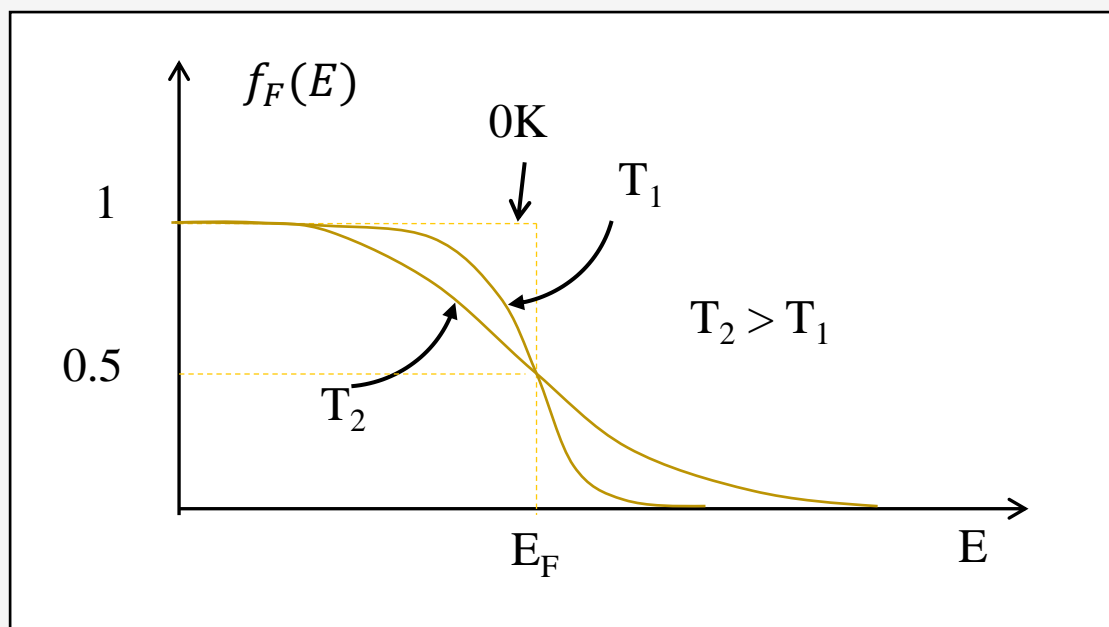
第二章 半导体中载流子的统计分布

• 热平衡载流子的统计分布

费米分布——能量为 E 的一个量子态被一个电子占据的概率为：

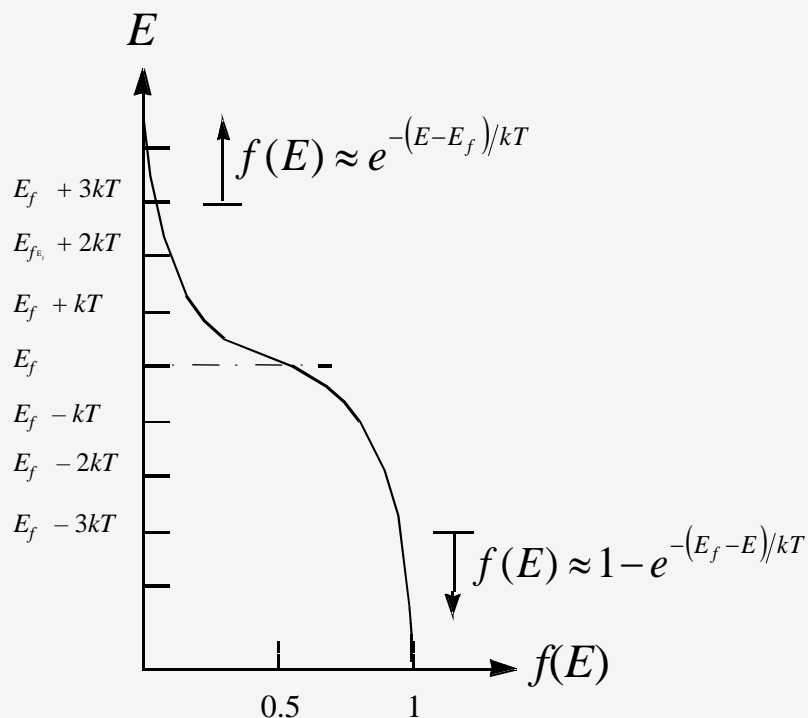
$$f(E) = \frac{1}{1 + \exp(\frac{E - E_F}{k_0 T})}$$

E_f 费米能级



第二章 半导体中载流子的统计分布

• 热平衡载流子的统计分布



$$f(E) = \frac{1}{1 + \exp\left(\frac{E - E_F}{k_0 T}\right)}$$

玻尔兹曼分布函数近似：

$$f(E) \approx \exp\left(-\frac{E - E_F}{k_0 T}\right)$$

$$E - E_F \gg k_0 T$$

$$f(E) \approx 1 - \exp\left(\frac{E - E_F}{k_0 T}\right)$$

$$E - E_F \ll -k_0 T$$

$$\exp(3) \approx 20$$

注意：处于热平衡状态的电子系统具有统一的费米能级！

第二章 半导体中载流子的统计分布

费米分布函数

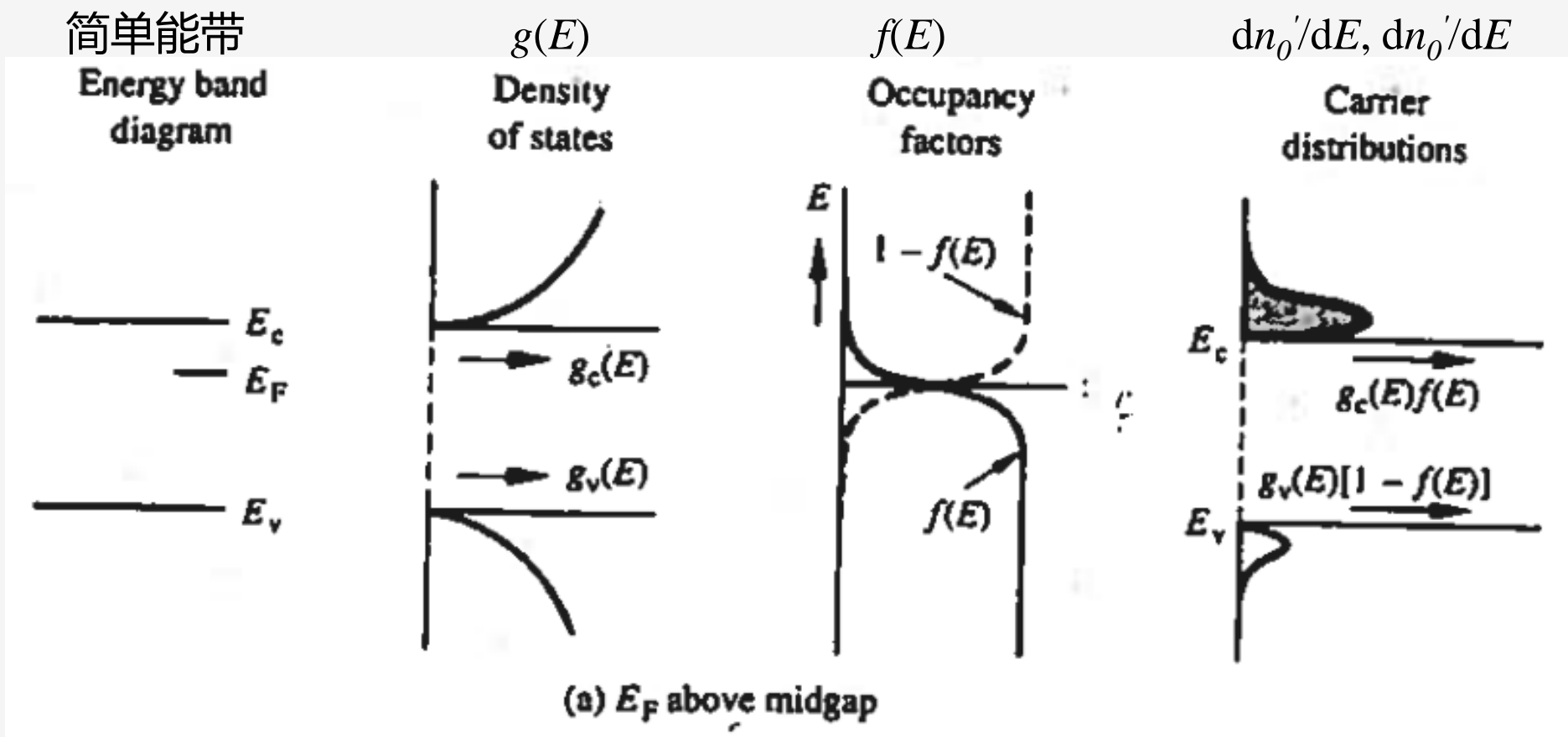
$$f(E) = \frac{1}{1 + \exp\left(\frac{E - E_F}{k_0 T}\right)}$$

Let us next consider temperatures $T > 0$ K. Examining the Fermi function, we make the following pertinent observations.

- (i) If $E = E_F$, $f(E_F) = 1/2$.
- (ii) If $E \geq E_F + 3kT$, $\exp[(E - E_F)/kT] \gg 1$ and $f(E) \simeq \exp[-(E - E_F)/kT]$. Consequently, above $E_F + 3kT$ the Fermi function or filled-state probability decays exponentially to zero with increasing energy. Moreover, most states at energies $3kT$ or more above E_F will be empty.
- (iii) If $E \leq E_F - 3kT$, $\exp[(E - E_F)/kT] \ll 1$ and $f(E) \simeq 1 - \exp[(E - E_F)/kT]$. Below $E_F - 3kT$, therefore, $[1 - f(E)]$, the probability that a given state will be *empty*, decays exponentially to zero with decreasing energy. Most states at energies $3kT$ or more below E_F will be filled.
- (iv) At room temperature ($T = 300$ K), $kT = 0.0259$ eV and $3kT = 0.0777$ eV $\ll E_G(\text{Si})$. Compared to the Si band gap, the $3kT$ energy interval that appears prominently in the $T > 0$ K formalism is typically quite small.

第二章 半导体中载流子的统计分布

2.1 导带中的电子浓度和价带中的空穴浓度



第二章 半导体中载流子的统计分布

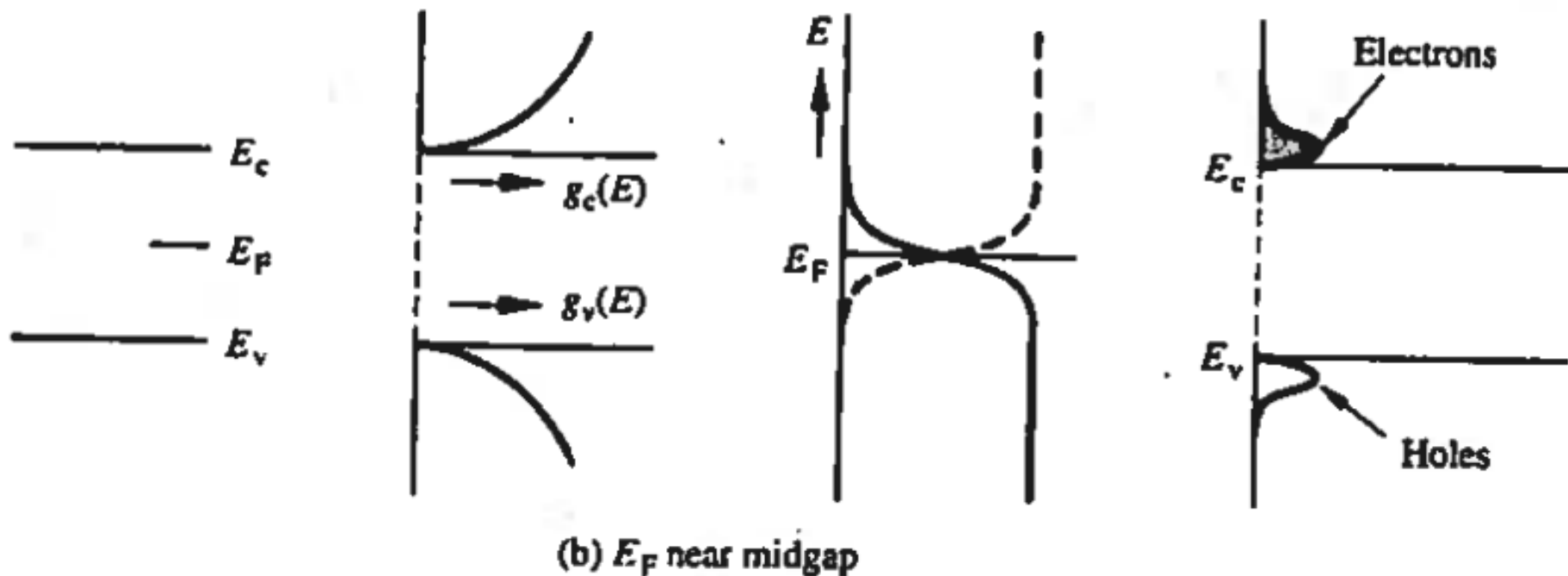
• 2.1 导带中的电子浓度和价带中的空穴浓度

简单能带

$g(E)$

$f(E)$

$dn_0'/dE, dn_0'/dE$



第二章 半导体中载流子的统计分布

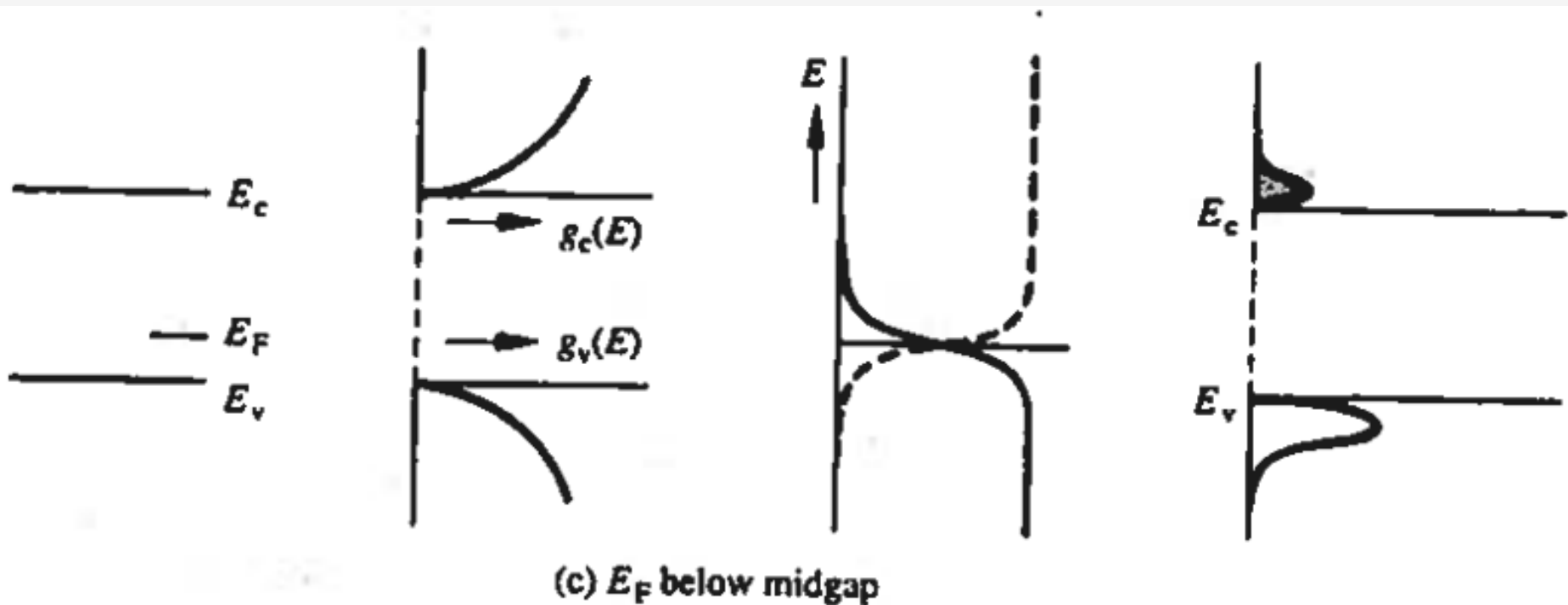
• 2.1 导带中的电子浓度和价带中的空穴浓度

简单能带

$g(E)$

$f(E)$

$dn_0'/dE, dp_0'/dE$



第二章 半导体中载流子的统计分布

• 导带中的电子浓度

$$g_c(E) = 4\pi V \frac{(2m_n^*)^{3/2}}{h^3} [E - E_c]^{1/2}$$

$$f(E) \approx \exp\left(-\frac{E - E_F}{k_0 T}\right)$$

导带电子数量: $N = \int dN = \int f_B(E) g_c(E) dE$

$$dN = 4\pi V \frac{(2m_n^*)^{3/2}}{h^3} \exp\left(-\frac{E - E_F}{k_0 T}\right) (E - E_c)^{1/2} dE$$

单位体积, 单位能量间隔:

$$dn = \frac{dN}{V} = 4\pi \frac{(2m_n^*)^{3/2}}{h^3} \exp\left(-\frac{E - E_F}{k_0 T}\right) (E - E_c)^{1/2} dE$$

第二章 半导体中载流子的统计分布

• 导带中的电子浓度

$$n_0 = \int_{E_c}^{E_c'} 4\pi \frac{(2m_n^*)^{3/2}}{h^3} \exp\left(-\frac{E - E_F}{k_0T}\right) (E - E_c)^{1/2} dE$$

引入变量: $x = (E - E_c) / (k_0T)$

$$n_0 = 4\pi \frac{(2m_n^*)^{3/2}}{h^3} (k_0T)^{3/2} \exp\left(-\frac{E_c - E_F}{k_0T}\right) \int_0^{x'} x^{1/2} e^{-x} dx$$

其中 $x' = (E_c' - E_c) / k_0T$

$$\text{已知} \int_0^\infty x^{1/2} e^{-x} dx = \frac{\sqrt{\pi}}{2}$$

$$n_0 = 4\pi \frac{(2m_n^*)^{3/2}}{h^3} (k_0T)^{3/2} \exp\left(-\frac{E_c - E_F}{k_0T}\right) \int_0^\infty x^{1/2} e^{-x} dx$$

$$n_0 = 2 \frac{(2\pi m_n^* k_0T)^{3/2}}{h^3} \exp\left(-\frac{E_c - E_F}{k_0T}\right)$$

第二章 半导体中载流子的统计分布

- 导带中的电子浓度

令
$$N_c = 2 \frac{(2\pi m_n^* k_0 T)^{3/2}}{h^3}$$

则
$$n_0 = N_c \exp\left(-\frac{E_c - E_F}{k_0 T}\right)$$

N_c 称为导带的有效状态密度, $N_c \propto T^{3/2}$

对Si, $N_c = 2.8 * 10^{19} \text{cm}^{-3}$

第二章 半导体中载流子的统计分布

- 价带中的空穴浓度

$$g_v(E) = 4\pi V \frac{(2m_p^*)^{3/2}}{h^3} [E_v - E]^{1/2}$$

$$1 - f(E) \approx e^{-\frac{E_F - E}{k_0 T}}$$

$$p_0 = \int_{E_v}^{E_v} 4\pi \frac{(2m_p^*)^{3/2}}{h^3} \exp\left(-\frac{E_F - E}{k_0 T}\right) (E_v - E)^{1/2} dE$$

$$p_0 = 2 \frac{(2\pi m_p^* k_0 T)^{3/2}}{h^3} \exp\left(-\frac{E_F - E_v}{k_0 T}\right)$$

第二章 半导体中载流子的统计分布

- 价带中的空穴浓度

$$\text{令 } N_v = 2 \frac{(2\pi m_p^* k_0 T)^{3/2}}{h^3}$$

$$\text{则 } p_0 = N_v \exp\left(-\frac{E_F - E_v}{k_0 T}\right)$$

N_v 称为价带的有效状态密度, $N_v \propto T^{3/2}$

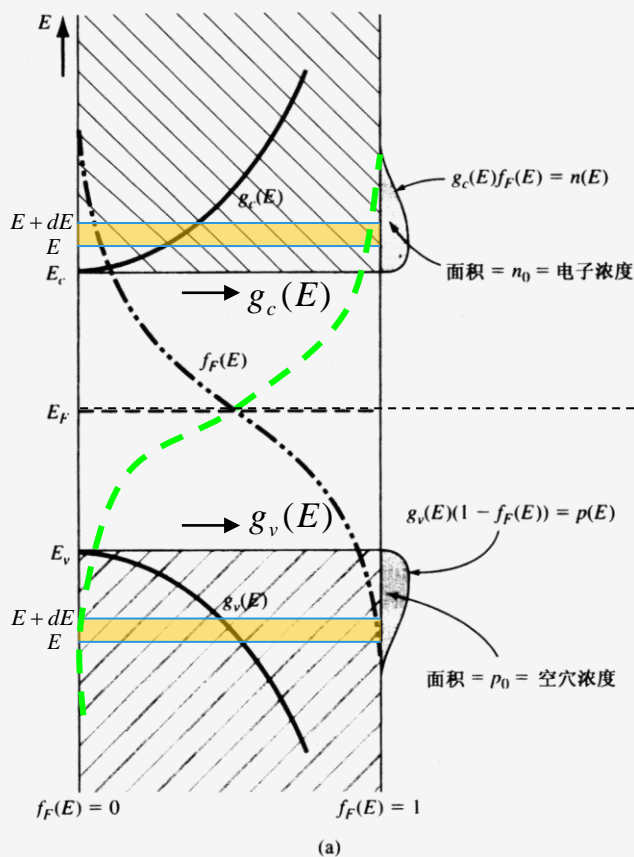
对Si, $N_v = 1.04 \times 10^{19} \text{cm}^{-3}$.

第二章 半导体中载流子的统计分布

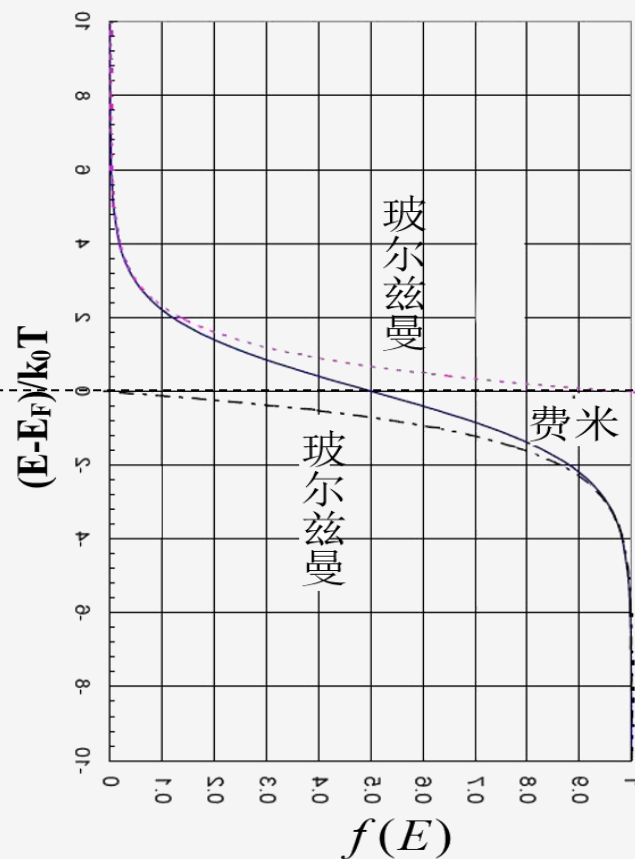
2.1 导带中的电子浓度和价带中的空穴浓度

电子分布函数

空穴分布函数



E 如果远离 E_F , 则费米分布可以用玻尔兹曼分布近似



第二章 半导体中载流子的统计分布

• 2.1 导带中的电子浓度和价带中的空穴浓度

$$n_0 = N_c \exp\left(-\frac{E_c - E_F}{k_0 T}\right) \quad p_0 = N_v \exp\left(-\frac{E_F - E_v}{k_0 T}\right)$$

$$N_c = 2 \frac{(2\pi m_n^* k_0 T)^{3/2}}{h^3} \quad N_v = 2 \frac{(2\pi m_p^* k_0 T)^{3/2}}{h^3}$$

◆ n_0 和 p_0 均为 T 及 E_F 的函数温度的影响一方面来自于 N_c 和 N_v , 另一方面由于指数项。同时, E_F 也是温度的函数。

第二章 半导体中载流子的统计分布

• 费米能级和载流子浓度

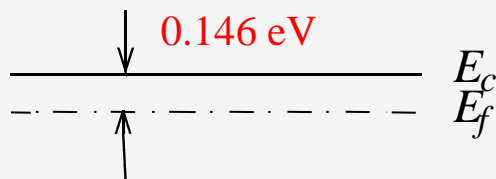
Where is E_f for $n = 10^{17} \text{ cm}^{-3}$? And for $p = 10^{14} \text{ cm}^{-3}$?

Solution: (a) $n = N_c e^{-(E_c - E_f)/kT}$

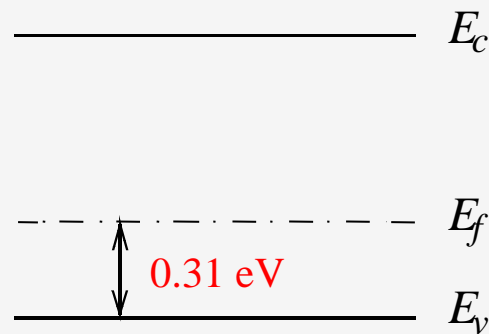
$$E_c - E_f = kT \ln(N_c / n) = 0.026 \ln(2.8 \times 10^{19} / 10^{17}) = 0.146 \text{ eV}$$

(b) For $p = 10^{14} \text{ cm}^{-3}$, from Eq.(1.8.8),

$$E_f - E_v = kT \ln(N_v / p) = 0.026 \ln(1.04 \times 10^{19} / 10^{14}) = 0.31 \text{ eV}$$



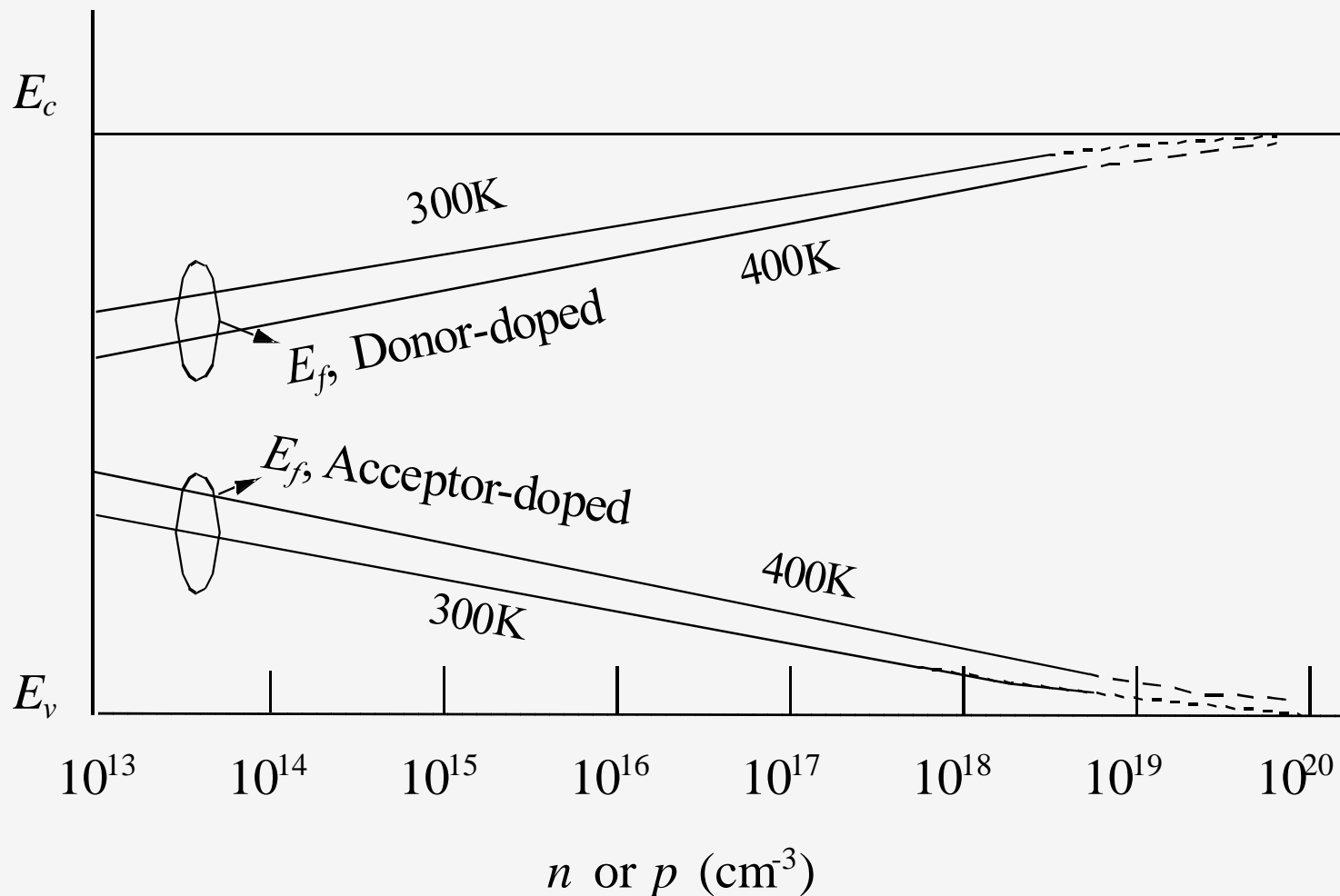
(a)



(b)

第二章 半导体中载流子的统计分布

• 费米能级和载流子浓度



第二章 半导体中载流子的统计分布

• 载流子浓度乘积 $n_0 p_0$

两式相乘：
$$n_0 p_0 = N_c N_v \exp\left(-\frac{E_c - E_v}{k_0 T}\right) = N_c N_v \exp\left(-\frac{E_g}{k_0 T}\right)$$

将 N_c , N_v 表达式带入上式：

$$n_0 p_0 = 4 \left(\frac{2\pi k_0}{h^2} \right)^3 (m_n^* m_p^*)^{3/2} T^3 \exp\left(-\frac{E_g}{k_0 T}\right)$$
$$n_0 p_0 = 2.33 \times 10^{31} \left(\frac{m_n^* m_p^*}{m_0^2} \right)^{3/2} T^3 \exp\left(-\frac{E_g}{k_0 T}\right)$$

载流子浓度乘积的特性：

1. 一定的半导体，如果温度一定，则乘积一定。与费米能级无关，与杂质浓度无关。
2. 适用于热平衡状态下的非简并半导体，包括本征半导体和杂质半导体（杂质浓度不高）。

第二章 半导体中载流子的统计分布

• 2.2 本征半导体的载流子浓度

一、电子和空穴成对产生 $n_0 = p_0$

二、费米能级的位置 $N_c \exp(-\frac{E_c - E_F}{k_0 T}) = N_v \exp(-\frac{E_F - E_v}{k_0 T})$

解得: $E_i = E_F = \frac{E_c + E_v}{2} + \frac{k_0 T}{2} \ln \frac{N_v}{N_c}$

代入 N_c 和 N_v 表达式: $E_i = E_F = \frac{E_c + E_v}{2} + \frac{3k_0 T}{4} \ln \frac{m_p^*}{m_n^*}$

	Si	Ge	GaAs
m_p^* / m_n^*	0.55	0.66	7.0

$\ln(m_p^* / m_n^*) < 2$
 E_F 在禁带中线附近

第二章 半导体中载流子的统计分布

• 2.2 本征半导体的载流子浓度

$$n_i = n_0 = p_0 = (N_c N_v)^{1/2} \exp\left(-\frac{E_g}{2k_0 T}\right)$$

将 N_c 、 N_v 表达式代入

$$n_i = \left[\frac{2(2\pi k_0 T)^{3/2} (m_p^* m_n^*)^{3/4}}{h^3} \right] \exp\left(-\frac{E_g}{2k_0 T}\right)$$

代入 h 、 k_0 数值，并引入电子惯性质量 m_0

$$n_i = 4.82 \times 10^{15} \left(\frac{m_p^* m_n^*}{m_0^2} \right)^{3/4} T^{3/2} \exp\left(-\frac{E_g}{2k_0 T}\right)$$

第二章 半导体中载流子的统计分布

• 2.2 本征半导体的载流子浓度

$$1. \quad n_0 p_0 = n_i^2 \quad n_i = 4.82 \times 10^{15} \left(\frac{m_p^* m_n^*}{m_0^2} \right)^{3/4} T^{3/2} \exp\left(-\frac{E_g}{2k_0 T}\right)$$

2. 本征载流子浓度与温度关系

设 E_g 随温度线性变化: $E_g = E_g(0) + \beta T, \beta = dE_g / dT$

$$n_i = 4.82 \times 10^{15} \left(\frac{m_p^* m_n^*}{m_0^2} \right)^{3/4} T^{3/2} \exp\left(-\frac{\beta}{2k_0}\right) \exp\left(-\frac{E_g(0)}{2k_0 T}\right)$$

由上式, $\ln n_i \sim 1/T$ 近似为一条直线

作 $\ln n_i T^{-3/2} \sim 1/T$ 关系曲线, 为一条直线, 从这条直线斜率可求出 $E_g(0)$, $E_g(0) = 2k_0 \times \text{斜率}$ 。

第二章 半导体中载流子的统计分布

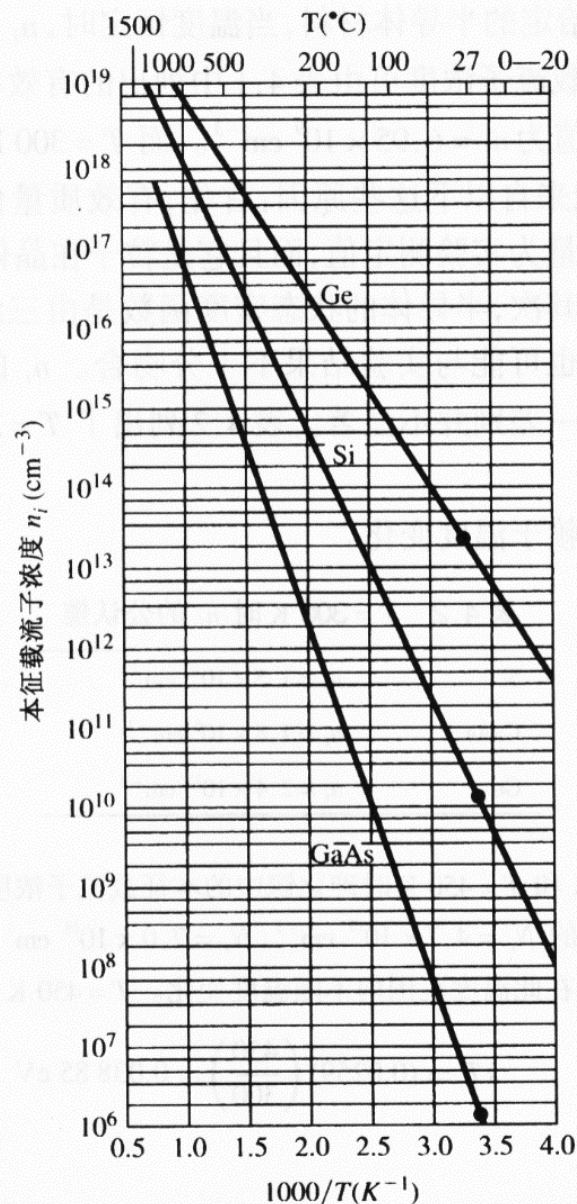
• 2.2 本征半导体的载流子浓度

3. 本征载流子浓度与禁带宽度的关系

$$n_i = (N_C N_V)^{\frac{1}{2}} \exp\left(-\frac{E_g}{2k_0 T}\right)$$

温度一定, E_g 增加, n_i 减小

同一半导体, 温度升高, n_i 增加



本征载流子浓度与温度关系曲线

第二章 半导体中载流子的统计分布

• 2.2 本征半导体的载流子浓度

300K下硅、锗、砷化镓的本征载流子浓度

各项 参数	$E_g(eV)$	$m_n^*(m_{dn})$	$m_p^*(m_{dp})$	$N_c(cm^{-3})$	$N_v(cm^{-3})$	$n_i(cm^{-3})$ (理论值)	$n_i(cm^{-3})$ (实验值)
Si	1.12	$1.08m_0$	$0.59m_0$	2.8×10^{19}	1.1×10^{19}	7.8×10^9	<u>1.5×10^{10}</u>
Ge	0.67	$0.56m_0$	$0.37m_0$	1.05×10^{19}	5.7×10^{19}	2.0×10^{13}	<u>2.4×10^{13}</u>
GaAs	1.428	$0.068m_0$	$0.47m_0$	4.5×10^{17}	8.1×10^{18}	2.3×10^6	<u>1.1×10^7</u>

第二章 半导体中载流子的统计分布

• 2.2 本征半导体的载流子浓度：小结

导带、价带载流子浓度表达式：

$$n_0 = N_c \exp\left(-\frac{E_c - E_F}{k_0 T}\right) \quad p_0 = N_v \exp\left(-\frac{E_F - E_v}{k_0 T}\right)$$

$$n_0 p_0 = N_c N_v \exp\left(-\frac{E_c - E_v}{k_0 T}\right) = N_c N_v \exp\left(-\frac{E_g}{k_0 T}\right)$$

本征半导体的载流子浓度：

$$n_0 = p_0 \longrightarrow E_i = E_F = \frac{E_c + E_v}{2} + \frac{k_0 T}{2} \ln \frac{N_v}{N_c} \longrightarrow n_i = n_0 = p_0 = (N_c N_v)^{1/2} \exp\left(-\frac{E_g}{2k_0 T}\right)$$

$$n_i = N_c \exp\left(-\frac{E_c - E_i}{k_0 T}\right) \quad n_i = N_v \exp\left(-\frac{E_i - E_v}{k_0 T}\right) \quad n_0 p_0 = n_i^2$$

注意： E_F 是一个相对的量

第二章 半导体中载流子的统计分布

• 2.3 杂质能级上的电子和空穴浓度

杂质能级：等高、分立、短线

与能带中能级的区别：

能带中能级可以容纳两个自旋相反的电子，

杂质能级只能容纳一个任意自旋的电子或不被电子占据，

杂质能级被占据的几率不能用标准的费米分布函数。

$$f(E) = \frac{1}{1 + \exp(\frac{E - E_F}{k_0 T})}$$

施主能级被电子占据几率为：

$$f_D(E) = \frac{1}{1 + \frac{1}{g_D} \exp(\frac{E_D - E_F}{k_0 T})}$$

受主能级被空穴占据几率为：

$$f_A(E) = \frac{1}{1 + \frac{1}{g_A} \exp(\frac{E_F - E_A}{k_0 T})}$$

第二章 半导体中载流子的统计分布

2.3 杂质能级上的电子和空穴浓度

施主能级上的电子浓度

$$n_D = N_D f_D(E) = \frac{N_D}{1 + \frac{1}{g_D} \exp\left(\frac{E_D - E_F}{k_0 T}\right)}$$

杂质浓度--量子态 几率

电中性, 未电离

杂质能级和费米能级之间的距离

受主能级上的空穴浓度

$$p_A = N_A f_A(E) = \frac{N_A}{1 + \frac{1}{g_A} \exp\left(\frac{E_F - E_A}{k_0 T}\right)}$$

电中性, 未电离

第二章 半导体中载流子的统计分布

• 2.3 杂质能级上的电子和空穴浓度

电离施主浓度

$$n_D^+ = N_D - n_D = N_D - N_D f_D(E) = \frac{N_D}{1 + g_D \exp(-\frac{E_D - E_F}{k_0 T})}$$

电离，带正电

电离受主浓度

$$p_A^- = N_A - p_A = N_A - N_A f_A(E) = \frac{N_A}{1 + g_A \exp(-\frac{E_F - E_A}{k_0 T})}$$

电离，带负电

第二章 半导体中载流子的统计分布

• 2.4 只含一种施主能级的半导体的载流子浓度

1. 电中性条件

负电荷: n_0

$$n_0 = N_c \exp\left(-\frac{E_c - E_F}{k_0 T}\right)$$

正电荷: p_0 , n_D^+

$$p_0 = N_v \exp\left(-\frac{E_F - E_v}{k_0 T}\right)$$

满足: $n_0 = p_0 + n_D^+$

$$n_D^+ = \frac{N_D}{1 + 2 \exp\left(-\frac{E_D - E_F}{k_0 T}\right)}$$

$$p_A^- = \frac{N_A}{1 + 4 \exp\left(-\frac{E_F - E_A}{k_0 T}\right)}$$

第二章 半导体中载流子的统计分布

• 2.4 只含一种施主能级的半导体的载流子浓度

2. 不同温度区间的半导体的费米能级和杂质电离程度

$$N_c \exp\left(-\frac{E_c - E_F}{k_0 T}\right) = N_v \exp\left(-\frac{E_F - E_v}{k_0 T}\right) + \frac{N_D}{1 + 2 \exp\left(-\frac{E_D - E_F}{k_0 T}\right)}$$

上式只有 E_F 是需要确定的未知量，为了确定出 E_F ，可以在不同温度区下近似求解。

1). 杂质电离范围

- a. 低温弱电离区
- b. 中间电离区
- c. 饱和电离区

2). 本征激发起作用

- a. 过渡区
- b. 本征激发区

第二章 半导体中载流子的统计分布

• 2.4 只含一种施主能级的半导体的载流子浓度

A. 杂质电离范围 (温度范围为从0K---杂质全部电离)

电中性条件: $n_0 = n_D^+$ 空穴数被忽略不计了

$$N_c \exp\left(-\frac{E_c - E_F}{k_0 T}\right) = \frac{N_D}{1 + 2 \exp\left(-\frac{E_D - E_F}{k_0 T}\right)}$$

设: $x = \exp\left(-\frac{E_D - E_F}{k_0 T}\right)$

解方程: $2x^2 + x - \frac{N_D}{N_C} \exp\left(\frac{\Delta E_D}{k_0 T}\right) = 0$

$$x = \frac{\pm \sqrt{1 + \frac{8N_D}{N_C} \exp\left(\frac{\Delta E_D}{k_0 T}\right)} - 1}{4}$$

舍去负值

第二章 半导体中载流子的统计分布

- 2.4 只含一种施主能级的半导体的载流子浓度

$$E_F = E_D + k_0 T \ln \left[\frac{\sqrt{1 + \frac{8N_D}{N_C} \exp\left(\frac{\Delta E_D}{k_0 T}\right)} - 1}{4} \right]$$

$$n_0 = n_D^+ = \frac{N_D}{1 + 2 \exp\left(-\frac{E_D - E_F}{k_0 T}\right)}$$

$$n_0 = \frac{2N_D}{1 + \sqrt{1 + \frac{8N_D}{N_C} \exp\left(\frac{\Delta E_D}{k_0 T}\right)}}$$

第二章 半导体中载流子的统计分布

• 2.4 只含一种施主能级的半导体的载流子浓度

讨论： (1)低温弱电离区

$$n_0 = \frac{2N_D}{1 + \sqrt{1 + \frac{8N_D}{N_C} \exp\left(\frac{\Delta E_D}{k_0 T}\right)}}$$

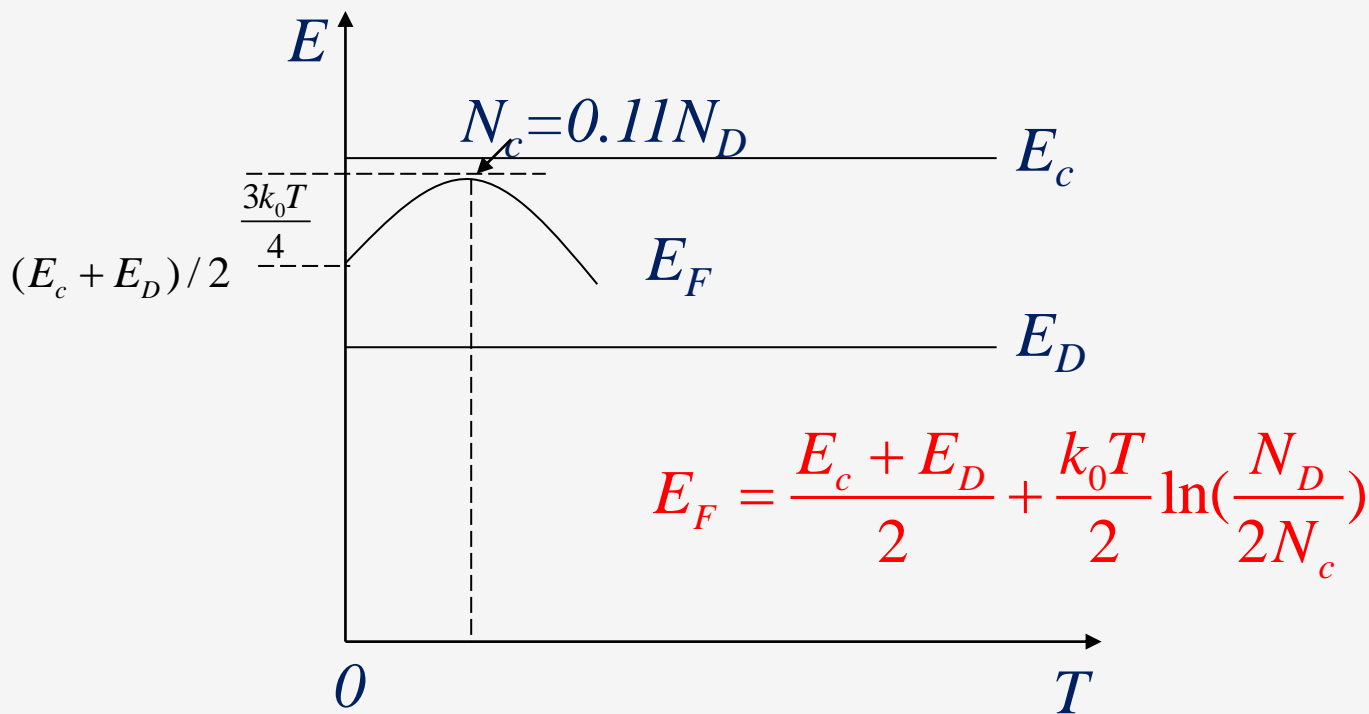
T很低, 使得 ΔE_D 远大于 $k_0 T$ 则 $\frac{8N_D}{N_C} \exp\left(\frac{\Delta E_D}{k_0 T}\right)$ 远大于1

$$\text{则: } E_F = E_D + k_0 T \ln\left[\frac{N_D}{2N_C} \exp\left(\frac{E_c - E_D}{k_0 T}\right)\right]^{1/2}$$

$$E_F = \frac{E_c + E_D}{2} + \frac{k_0 T}{2} \ln\left(\frac{N_D}{2N_C}\right)$$

第二章 半导体中载流子的统计分布

• 2.4 只含一种施主能级的半导体的载流子浓度



低温弱电离区费米能级与温度关系

第二章 半导体中载流子的统计分布

• 2.4 只含一种施主能级的半导体的载流子浓度

$$E_F = \frac{E_c + E_D}{2} + \frac{k_0 T}{2} \ln\left(\frac{N_D}{2N_c}\right)$$

$$n_0 = N_c \exp\left(-\frac{E_c - E_F}{k_0 T}\right)$$

将求得的 E_F 代入 n_0 表达式得：

$$n_0 = \left(\frac{N_D N_c}{2}\right)^{1/2} \exp\left(-\frac{E_c - E_D}{2k_0 T}\right) = \left(\frac{N_D N_c}{2}\right)^{1/2} \exp\left(-\frac{\Delta E_D}{2k_0 T}\right)$$

由上式可得：

$$n_0 \propto T^{3/4} \exp\left(-\frac{\Delta E_D}{2k_0 T}\right) \quad T \text{ 升高, } n_0 \text{ 增加}$$

$$\ln n_0 = \frac{1}{2} \ln\left(\frac{N_D N_c}{2}\right) - \frac{\Delta E_D}{2k_0 T} \quad \ln n_0 T^{-3/4} = A - \frac{\Delta E_D}{2k_0 T}$$

作 $\ln n_0 T^{-3/4} \sim 1/T$ 曲线，为直线，其斜率为： $\Delta E_D / (2k_0)$ 确定 ΔE_D

第二章 半导体中载流子的统计分布

• 2.4 只含一种施主能级的半导体的载流子浓度

讨论：(2)强电离区(饱和电离区)

电子浓度： $n_0 = \frac{2N_D}{1 + \sqrt{1 + \frac{8N_D}{N_C} \exp(\frac{\Delta E_D}{k_0 T})}} = N_D$ $\frac{8N_D}{N_C} \exp(\frac{\Delta E_D}{k_0 T})$ 远小于1

$$N_c \exp(-\frac{E_c - E_F}{k_0 T}) = N_D \quad \Rightarrow \quad E_F = E_c + k_0 T \ln(\frac{N_D}{N_c}) < 0$$

$$n_i \exp(-\frac{E_i - E_F}{k_0 T}) = N_D \quad \Rightarrow \quad E_F = E_i + k_0 T \ln(\frac{N_D}{n_i}) > 0$$

E_F 在 E_i 与 E_C 之间

第二章 半导体中载流子的统计分布

• 2.4 只含一种施主能级的半导体的载流子浓度

讨论：(2)强电离区(饱和电离区)

1. T 一定, N_D 越大, E_c 与 E_F 间的差别越小, 费米能级越靠近导带底
2. N_D 一定, T 升高, **费米能级向本征费米能级靠近**
3. **此区域, 载流子浓度与温度无关, 保持一个定值。绝大多数半导体器件都工作在此温度区间。**

第二章 半导体中载流子的统计分布

• 2.4 只含一种施主能级的半导体的载流子浓度

讨论：(3)中间电离区

$$\frac{8N_D}{N_C} \exp\left(\frac{\Delta E_D}{k_0 T}\right)$$

不满足远大于或小于1

$$E_F = E_D + k_0 T \ln \left[\frac{\sqrt{1 + \frac{8N_D}{N_C} \exp\left(\frac{\Delta E_D}{k_0 T}\right)} - 1}{4} \right] \quad n_0 = \frac{2N_D}{1 + \sqrt{1 + \frac{8N_D}{N_C} \exp\left(\frac{\Delta E_D}{k_0 T}\right)}}$$

77K属于哪个区域？ 低温弱电离、 中间电离、 饱和电离

第二章 半导体中载流子的统计分布

• 2.4 只含一种施主能级的半导体的载流子浓度

B. 本征激发起作用的温度范围

(T范围：杂质全部电离 - 强本征激发范围)

本征激发相对杂质电离所提供的载流子不能再忽略。

电中性条件为： $n_0 = N_D + p_0$

$$n_0 p_0 = n_i^2$$

解得：

$$n_0 = \frac{N_D + \sqrt{N_D^2 + 4n_i^2}}{2}$$

$$p_0 = \frac{n_i^2}{n_0} = \frac{-N_D + \sqrt{N_D^2 + 4n_i^2}}{2}$$

第二章 半导体中载流子的统计分布

• 2.4 只含一种施主能级的半导体的载流子浓度

求费米能级：

$$n_0 = n_i \exp\left(-\frac{E_i - E_F}{k_0 T}\right) = \frac{N_D + \sqrt{N_D^2 + 4n_i^2}}{2}$$

$$E_F = E_i + k_0 T \ln\left(\frac{N_D + \sqrt{N_D^2 + 4n_i^2}}{2n_i}\right)$$

$$n_0 = N_C \exp\left(-\frac{E_C - E_F}{k_0 T}\right) = \frac{N_D + \sqrt{N_D^2 + 4n_i^2}}{2}$$

$$E_F = E_C + k_0 T \ln\left(\frac{N_D + \sqrt{N_D^2 + 4n_i^2}}{2N_C}\right)$$

讨论：(1)饱和电离区

当 T 较低， N_D 远大于 n_i ， $n_0 = N_D$ ，

$$E_F = E_i + k_0 T \ln\left(\frac{N_D}{n_i}\right) = E_C + k_0 T \ln\left(\frac{N_D}{N_C}\right)$$

第二章 半导体中载流子的统计分布

• 2.4 只含一种施主能级的半导体的载流子浓度

讨论：(2)本征激发区，当 T 很高， N_D 远小于 n_i

$$n_0 = p_0 = n_i = (N_c N_v)^{1/2} \exp\left(-\frac{E_g}{2k_0 T}\right) \quad E_F = E_i + k_0 T \ln\left(\frac{N_D + \sqrt{N_D^2 + 4n_i^2}}{2n_i}\right)$$

$$E_F = E_i = \frac{E_c + E_v}{2} + \frac{k_0 T}{2} \ln \frac{N_v}{N_c}$$

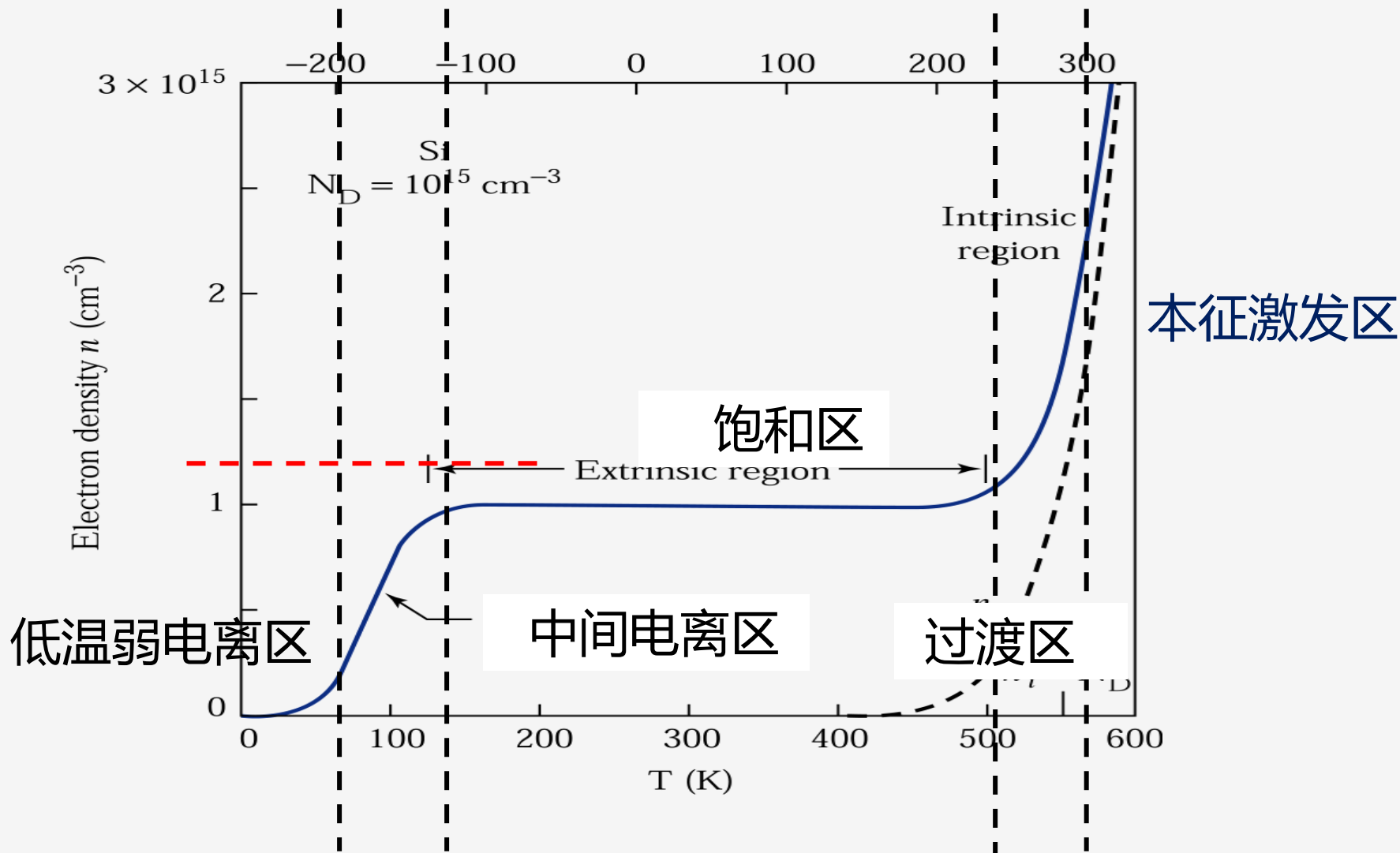
讨论：(3)过渡区

$$E_F = E_c + k_0 T \ln\left(\frac{N_D + \sqrt{N_D^2 + 4n_i^2}}{2N_c}\right)$$

$$n_0 = \frac{N_D + \sqrt{N_D^2 + 4n_i^2}}{2} \quad E_F = E_i + k_0 T \ln\left(\frac{N_D + \sqrt{N_D^2 + 4n_i^2}}{2n_i}\right)$$

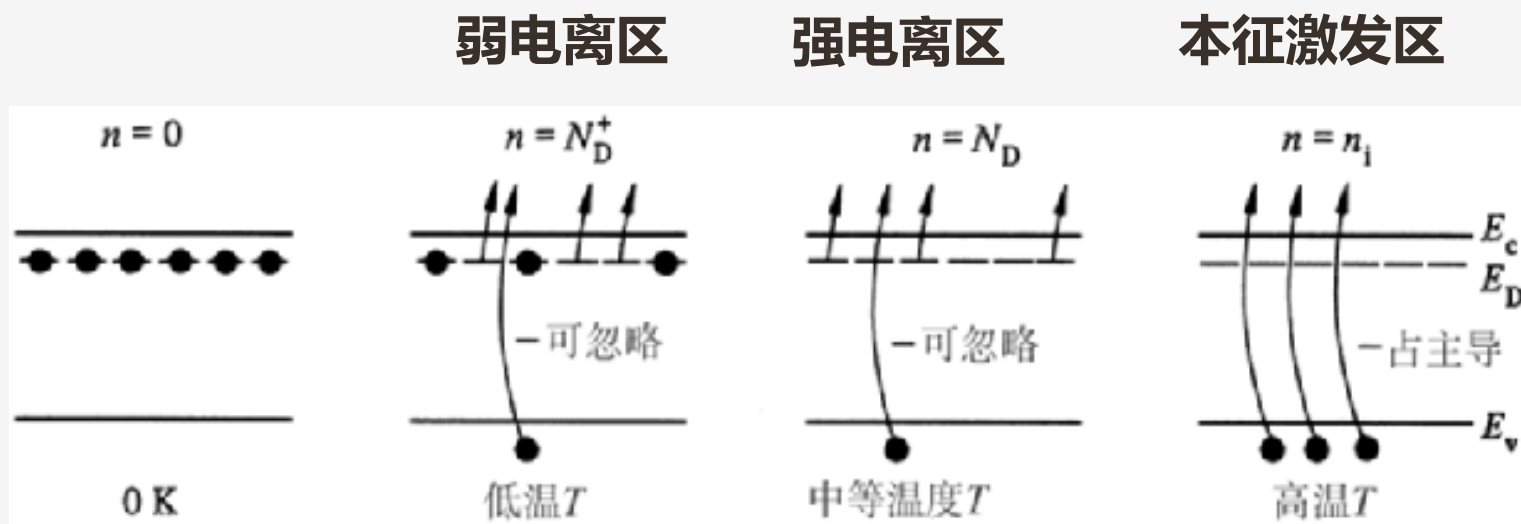
第二章 半导体中载流子的统计分布

2.4 只含一种施主能级的半导体的载流子浓度



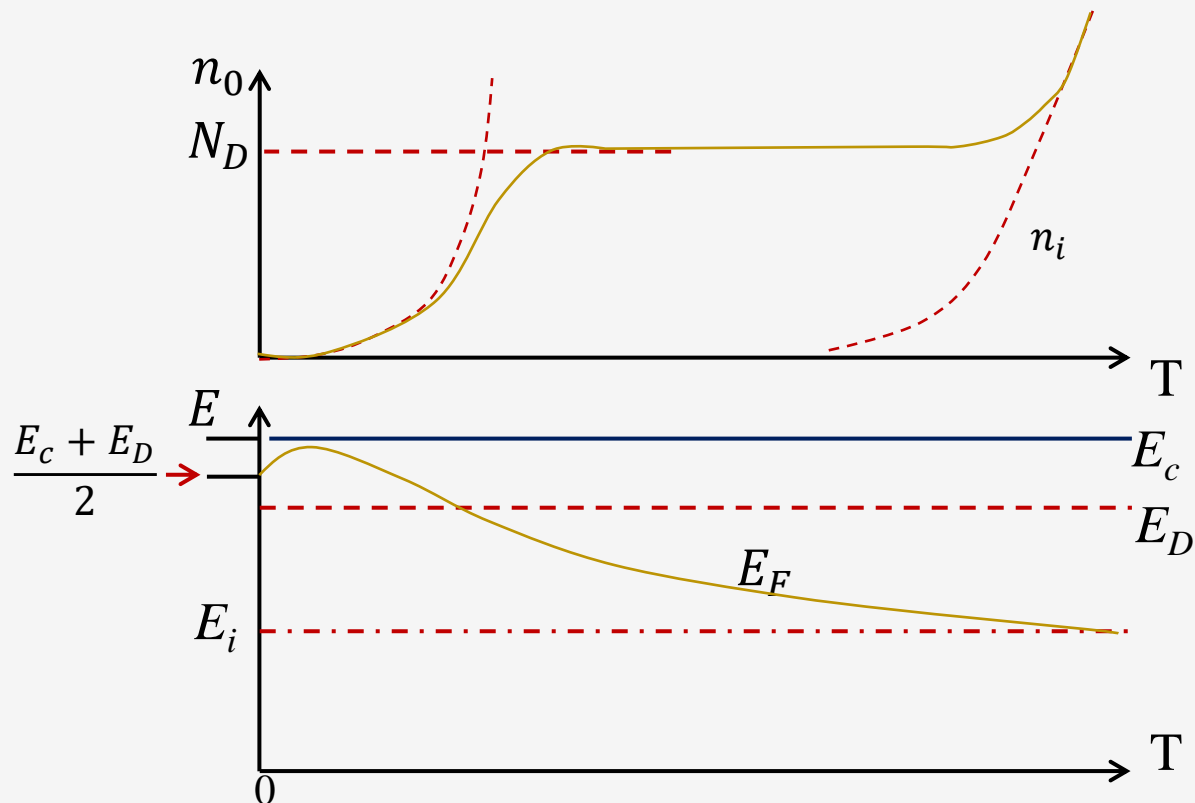
第二章 半导体中载流子的统计分布

• 2.4 只含一种施主能级的半导体的载流子浓度



第二章 半导体中载流子的统计分布

• 2.4 只含一种施主能级的半导体的载流子浓度



$$n_0 p_0 = n_i^2$$

$$p_0 = \frac{n_i^2}{n_0}$$

第二章 半导体中载流子的统计分布

- 2.5 只含一种受主杂质的p型半导体的载流子浓度

电中性条件: $p_0 = n_0 + p_A^-$

- 2.6 一般情况下载流子统计分布（有补偿情况下载流子浓度）

电中性条件: $p_0 + n_D^+ = n_0 + p_A^-$

- 2.7 简并半导体

当半导体的掺杂浓度很高时，比如：高于 $10^{19}/\text{cm}^3$ 时，费米能级可以进入导带或价带，导带中电子浓度和价带中空穴浓度很高，必须考虑泡利不相容原理，费米分布不能简化为玻尔兹曼分布，计算平衡态载流子浓度时，必须使用费米分布函数。

本章小结

◆ 半导体中载流子的统计分布

- 能量状态密度 $g(E)$
- 费米能级和载流子的统计分布 $f(E)$
- 本征半导体的载流子浓度 (n_0, p_0)
- 杂质半导体的载流子浓度 (n_0, p_0)
- 一般情况下载流子统计分布
- 简并半导体

非简并